

УДК 537.226.33

## О ФАЗОВЫХ ПЕРЕХОДАХ В КРИСТАЛЛАХ ТИПА TlGaSe<sub>2</sub>

А. А. Волков, Ю. Г. Гончаров, Г. В. Козлов,  
В. И. Торгашев, В. Б. Широков

На основе спектроскопических данных с помощью термодинамического рассмотрения анализируются механизмы фазовых превращений в кристаллах семейства TlGaSe<sub>2</sub>. Обсуждается природа однородного и неоднородного параметров порядка. Построена фазовая диаграмма и сделан вывод о триггерном характере наблюдаемых фазовых превращений.

Кристаллы типа TlGaSe<sub>2</sub> образуют обширное семейство тройных слоистых полупроводников, открытое более двадцати лет назад [1]. В 70-х годах спектроскопическими методами в них были обнаружены аномалии температурного поведения решеточных мод, что дало основание предположить существование в кристаллах типа TlGaSe<sub>2</sub> фазовых переходов [2].

В 1983 г. реально были обнаружены фазовые переходы в TlGaSe<sub>2</sub> и TlInS<sub>2</sub>, и впервые точно указаны их температуры [3, 4]. В субмиллиметровых спектрах была обнаружена интенсивная полярная мягкая мода, на основании изучения которой TlGaSe<sub>2</sub> был классифицирован как сегнетоэлектрик. Последовали работы [5-11], в которых эти выводы подтвердились. Однако, несмотря на значительный объем накопленного экспери-

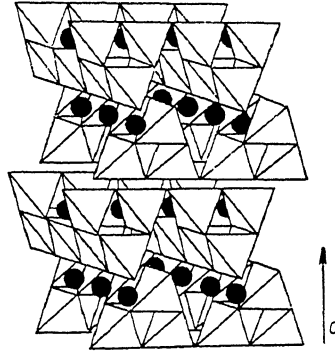


Рис. 1. Слоистая структура кристалла TlGaSe<sub>2</sub>. Кружки — ионы Tl, тетраэдры — GaSe<sub>4</sub> [12].

ментального материала, природа наблюдаемых фазовых превращений остается неясной.

В настоящей работе анализируется сложившаяся ситуация и предлагается объяснение наблюданной сегнетоэлектрической неустойчивости в TlGaSe<sub>2</sub> на базе феноменологического рассмотрения.

### 1. Структура и динамика решетки TlGaSe<sub>2</sub>

Согласно структурным данным [12, 13], TlGaSe<sub>2</sub> при комнатной температуре является моноклинным и описывается пространственной группой  $C2c \equiv C_{2h}^6$  с очень близкими по величине параметрами ячейки  $a$  и  $b$ :  $a \approx b = 10.77$ ,  $c = 15.64$  Å. Элементарная ячейка состоит из  $Z=16$  формулярных единиц TlGaSe<sub>2</sub> (два слоя), но в силу базоцентрированности элементарной ячейки примитивная ячейка содержит  $Z=8$ .

Основной структурной единицей является тетраэдрический комплекс Ga<sub>4</sub>Se<sub>10</sub>, в свою очередь состоящий из четырех элементарных GaSe<sub>4</sub>-тетраэдров (рис. 1). Комплексы Ga<sub>4</sub>Se<sub>10</sub> общими атомами селена связаны между

собой в квазидвумерную сеть в плоскости  $ab$ . Ионы таллия занимают тригонально-призматические пустоты, образующиеся между  $\text{Ga}_4\text{Se}_{10}$ -комплексами. Два слоя элементарной ячейки повернуты относительно друг друга на  $90^\circ$  и связаны операцией инверсии.

Вопреки логичному предположению о наличии множества мод в фононном спектре  $\text{TlGaSe}_2$  в силу большого размера его элементарной ячейки (93 линии при  $Z=8$ ) общее число реально наблюдаемых в ИК и КР спектрах линий поглощения не превышает 25 [14–16]. Нетривиальным моментом является также и то, что ни в одной из работ [14–16] не наблюдалось анизотропии спектров в плоскости  $ab$ , обязательной в случае моноклинной симметрии решетки.

Отмеченные расхождения между результатами рентгеноструктурных и спектроскопических исследований мы связываем с квазитетрагональностью ( $a \approx b$ ) структуры  $\text{TlGaSe}_2$  и наличием одномерного беспорядка вдоль оси  $c$  [12], обусловленного нарушениями в стыковке слоев [17].

## 2. Сегнетоэлектрические свойства

Из обнаруженных на сегодня свойств  $\text{TlGaSe}_2$  наиболее принципиальными в вопросе о механизме сегнетоэлектрического фазового перехода (ФП), на наш взгляд, являются два. Первое — это существование интенсивной ИК активной мягкой моды, наблюдаемой в субмиллиметровых

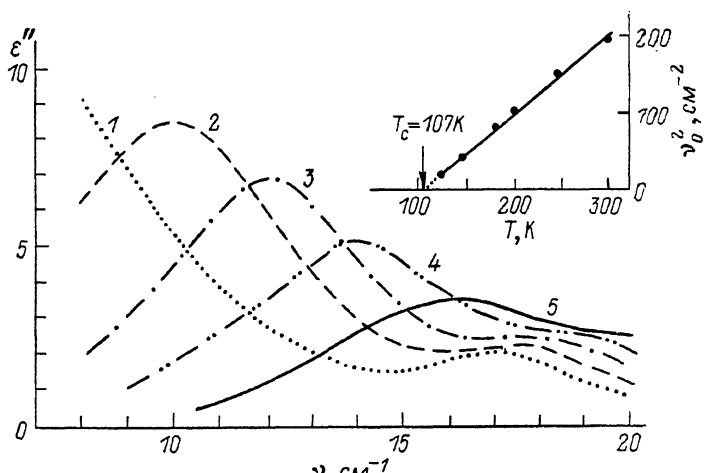


Рис. 2. Проявление мягкой моды в спектрах  $\epsilon''(\nu)$  паразелектрической фазы кристалла  $\text{TlGaSe}_2$ .

$T, \text{ K}$ : 1 — 150, 2 — 200, 3 — 250, 4 — 300, 5 — 380. На вставке — температурная зависимость квадрата частоты мягкой моды.

спектрах, частота которой стремится к нулю при  $T=107$  К (рис. 2) [3]. В большинстве образцов мягкая мода вырождена по поляризации в плоскости  $ab$ . Ее диэлектрический вклад в паразелектрической фазе подчиняется закону Кюри—Вейсса со значением константы Кюри  $C=5.5 \cdot 10^3$  К.

В некоторых образцах в плоскости  $ab$  при понижении температуры мягкая мода расщепляется на две компоненты примерно одинаковой интенсивности [18]. Низкочастотная ветвь идентична мягкой моде нормального кристалла, высокочастотная же ведет себя аномально. Ее частота изменяется с понижением температуры в паразелектрической фазе немонотонно. Анизотропия диэлектрических спектров сохраняется и в сегнетоэлектрической фазе. Данное наблюдение является пока единственным доказательством проявления в решеточных спектрах  $\text{TlGaSe}_2$  моноклинной симметрии.

Второе важное свойство  $\text{TlGaSe}_2$  — наличие двух политипных модификаций  $\text{TlGaSe}_2$ , наблюдавшихся нейтронографическим методом, и существование в одной из них ( $\alpha\text{-TlGaSe}_2$ ) учетверения элементарной ячейки

вдоль оси  $c$  при низких температурах [6]. Умножение элементарной ячейки, как недавно нами установлено, проявляется и в субмиллиметровых спектрах, которые обогащаются новыми линиями при переходе в низкотемпературную фазу. Один такой наиболее выразительный спектр, снятый при температуре жидкого гелия, приведен на рис. 3. Отчетливо видны линии поглощения, отсутствующие в ИК и КР спектрах парафазы. Существование полярной мягкой моды фазового перехода  $T=107$  К в сочетании с умножением элементарной ячейки в той же точке однозначно приводит к выводу о наличии в  $\text{TlGaSe}_2$  двух параметров порядка. Это заключение мы положили в основу описываемой далее феноменологической модели.

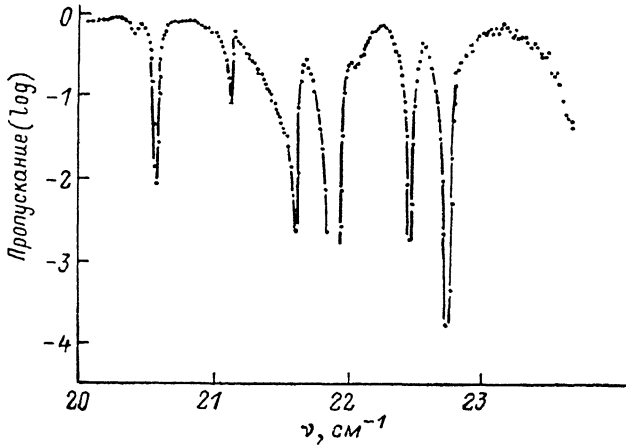


Рис. 3. Линия поглощения в спектре пропускания пластинки  $\text{TlGaSe}_2$  толщиной 42 мкм, температура 5 К.

### 3. Феноменологическая модель

Параметр порядка (ПП), обуславливающий умножение объема элементарной ячейки, имеет вектор  $k_1$ , которому соответствуют два неприводимых представления  $\tau_1(k_1)$  и  $\tau_2(k_1)$ .<sup>1</sup> С точки зрения термодинамического рассмотрения эти два представления эквивалентны, и мы для определенности выберем первое. Базисные функции этого представления обозначим через  $\eta_1$  и  $\eta_2$ .

Ввиду неоднозначности экспериментальной информации (достоверно не установлена симметрия мягкой сегнетоэлектрической моды и нет данных о группе симметрии низкотемпературных фаз) существует неоднозначность в выборе симметрии второго ПП. Ясно, однако, что он должен преобразовываться по одному из трех одномерных нетривиальных представлений класса  $C_{2h}$ :  $\tau_2(k_6)=A_u$ ,  $\tau_3(k_6)=B_u$  и  $\tau_4(k_6)=B_u$  (вектор  $k_6=0$ ). Рассмотрим каждый из этих вариантов последовательно.

Пусть симметрия мягкой моды есть  $A_u$ . Соответствующую ей базисную функцию обозначим через  $\xi$ . В этом случае разложение термодинамического потенциала зависит только от четырех функций

$$\eta_1\eta_2, \eta_1^8 + \eta_2^8, \xi^2, (\eta_1^4 + \eta_2^4)\xi. \quad (1)$$

В базис инвариантов (1) входит анизотропный инвариант восьмой степени, поэтому в разложении потенциала Ландау по ПП  $\gamma$  следует также учесть восьмую степень:<sup>2</sup>

$$\Phi = a_1\rho^2 + a_2\rho^4 + a_3\rho^6 + a_4\rho^8 + A_4\rho^8 \cos 8\varphi + b_1\xi^2 + b_2\xi^4 + f_2\xi^2 \cos 4\varphi, \quad (2)$$

<sup>1</sup> Мы используем обозначения для элементов симметрии, волновых векторов и неприводимых представлений, принятые в [19]. Связь между кристаллографическими параметрами  $a$ ,  $b$ ,  $c$  и реперами  $a_1$ ,  $a_2$  и  $a_3$  в [19] следующая:  $a=a_2+a_3$ ,  $b=a_3-a_2$ ,  $c=a_1$ .

<sup>2</sup> Отметим, что близкие, но не эквивалентные модели ранее рассматривались в [20, 21].

где  $a_i$ ,  $A_4$ ,  $b_i$ ,  $f$  и  $d$  — параметры, зависящие от внешних условий. При записи (2) использована полярная система координат

$$\eta_1 = \rho (\cos \varphi + i \sin \varphi); \quad \varepsilon_2 = 2\rho (\cos \varphi - i \sin \varphi). \quad (3)$$

Система уравнений состояния

$$\frac{\partial \Phi}{\partial \rho} = \frac{\partial \Phi}{\partial \varphi} = \frac{\partial \Phi}{\partial \xi} \quad (4)$$

в качестве решений допускает следующие фазы:

- 0)  $\rho = 0, \xi = 0, -C_{2h}^0(1),$
  - I)  $\rho = 0, \xi \neq 0, -C_2^3(1),$
  - II)  $\rho \neq 0, \xi \neq 0, \sin 4\varphi = 0 (\cos 4\varphi = \pm 1), -C_2^3(1),$
  - III)  $\rho \neq 0, \xi \neq 0, \cos 4\varphi = -d\xi/(4A_4\rho^4), -C_1^1(4),$
  - IV)  $\rho \neq 0, \xi = 0, \cos 4\varphi = 0 (\sin 4\varphi = \pm 1), -C_4^1(4).$
- (5)

Здесь в скобках после символа пространственной группы указано изменение объема примитивной ячейки. Значениям  $\cos 4\varphi = \pm 1$  в фазе II соответствуют разные уравнения состояния, поэтому это — антиизоструктурные фазы [22]. Их существование обусловлено полем ПП  $\xi$ , появляющимся благодаря нелинейному взаимодействию  $d\xi\rho^4 \cos 4\varphi$ . В случае фазы IV значениям  $\sin 4\varphi = \pm 1$  соответствуют домены этой фазы.

Ситуация, адекватная экспериментальной, осуществляется при  $\Delta = -4a_2b_2 - f^2 < 0, A_4 > 0, a_i > 0, b_2 > 0$  и  $f < 0$ . Соответствующая фазовая диаграмма приведена на рис. 4. Исходя из того что квадрат частоты мягкой моды линейно зависит от температуры [8], будем считать, что коэффициент  $b_1$  пропорционален  $T - T_c$ . Кроме того предположим, что  $a_1$  слабо зависит от температуры. Такие предположения отвечают термодинамическому пути ( $\beta' - \beta$ ), параллельному оси  $b_1$  на плоскости  $(a_1, b_1)$ . Выбранный термодинамический путь соответствует триггерному характеру перехода в фазу II. Такой механизм фазового перехода для  $\text{TlGaSe}_2$  существенно отличается от несобственно сегнетоэлектрического (путь  $\alpha' - \alpha$ ), предложенного в [23]. При  $A_4 < 0$  на диаграмме фазы III и IV отсутствуют, а вдоль выбранного пути при низких температурах (в левой части рис. 4) будет происходить переход первого рода в фазу, антиизоструктурную фазе II, с противоположным по знаку значением поляризации.

В случае, когда второй ПП  $\xi$  преобразуется по представлению  $\tau_3(k_6) \equiv B_\rho$ , базис инвариантов остается тем же, что и (1), а следовательно, не изменяется и вид термодинамического потенциала. Рассмотрение этого представления в качестве ПП диктуется предположением, что в силу дефектности образцов [24] может нарушаться принцип альтернативного запрета и, как следствие, возможно наблюдение мод  $B_\rho$ -типа в ИК спектрах. Отметим, что в пределах экспериментальной ошибки частоты ИК и КР линий действительно совпадают по крайней мере в области ниже  $30 \text{ см}^{-1}$  [25]. Решения уравнений состояния в этом случае такие же, как (5), но другой симметрии:

$$\text{I)} - C_4^1(1), \text{ II)} - C_4^1(4), \text{ III)} - C_1^1(4), \text{ IV)} - C_2^3(4). \quad (6)$$

На фазовой диаграмме рис. 4 переход в полярную фазу IV  $C_2^3$ -симметрии может осуществляться лишь как несобственный. Однако термодинамический путь должен быть таким же, как и  $\beta' - \beta$ , что обусловлено наличием мягкой оптической моды. Для более адекватного соответствия с экспериментом должны выполняться условия  $a_2 < 0, A_4 > 0$ . В этом случае при  $f < 0$  вдоль выбранного термодинамического пути вначале будет происходить ФП первого рода в фазу III, а при дальнейшем понижении температуры — переход второго рода в неполярную фазу II. Если же  $f > 0$ , то сначала будет происходить ФП первого рода в фазу IV моноклинной симметрии, затем ФП второго рода в фазу III, а при еще

более низких температурах — ФП второго рода в фазу II. Спонтанная поляризация появляется как несобственная только в фазах III и IV.

Рассмотрим, наконец, представление  $\tau_4(k_6) = B_u$ . При такой симметрии ПП базис инвариантов состоит из следующих функций:

$$\tau_1\tau_2, \quad \tau_1^8 + \tau_2^8, \quad \xi^2, \quad (\tau_1^8 - \tau_2^8)\xi. \quad (7)$$

Для записи термодинамического потенциала в (2) следует теперь член  $d\xi\rho^4 \cos 4\varphi$  заменить на  $d\xi\rho^8 \sin 8\varphi$ . При этом низкосимметричные фазы следующие:

- |  |              |
|--|--------------|
| I) $\rho = 0, \xi \neq 0,$   | $-C_s^4(1),$ |
| II) $\rho \neq 0, \xi = 0, \sin 4\varphi = 0 (\cos 4\varphi = \pm 1),$ | $-C_s^3(4),$ |
| III) $\rho \neq 0, \xi \neq 0,$  | $-C_s^1(4),$ |
| IV) $\rho \neq 0, \xi = 0, \cos 4\varphi = 0,$                         | $-C_s^1(4).$ |
- (8)

Член  $d\xi\rho^8 \sin 8\varphi$  существует лишь в фазе самой низкой симметрии III. Так как  $\xi \neq 0$  только в этой фазе,<sup>3</sup> спонтанная поляризация есть только

в фазе III ( $\xi \sim P_{x,z}$ ), а за счет взаимодействия  $P_y\rho^4 \cos 4\varphi$  появляется и  $P_y$ , но несобственным образом. Попасть непосредственно в эту фазу из высокосимметричной вдоль выбран-

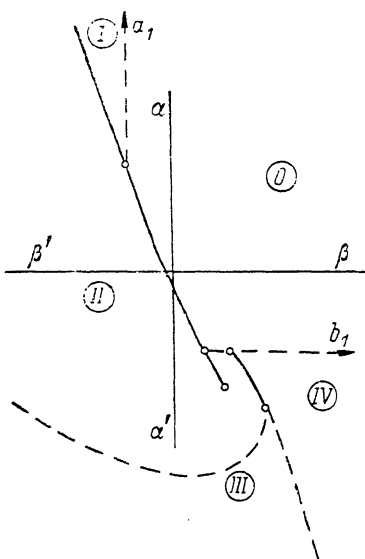


Рис. 4. Сечение фазовой диаграммы, соответствующей потенциальному (2), плоскостью феноменологических параметров ( $a, b$ ) в предположении  $a_i > 0$  ( $i=2, 3, 4$ ),  $A_4 > 0$ ,  $b_2 > 0$ ,  $d > 0$ ,  $f < 0$  и  $4a_2b_2 - f^2 < 0$ .

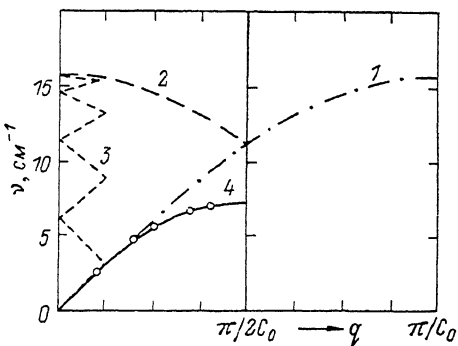


Рис. 5. Поперечная акустическая ветвь (кривая 4) в направлении [001] в кристалле TlGaSe<sub>2</sub> согласно [6] и отображение дисперсионных ветвей при умножении ячейки вдоль [001].

1 — однослойный, 2 — двухслойный, 3 — восьмислойный полиптихи соответственно.

ного термодинамического пути можно либо при  $f < 0$  и  $\Delta < 0$ , либо при  $a_2 < 0$ .

В рассмотренных моделях мы не учитывали градиентные инварианты, допускавшиеся симметрией. Заметим однако, что учет пространственной неоднородности привел бы к качественно новым ответам только в точках фазовых переходов второго рода. В случае же TlGaSe<sub>2</sub> наличие неоднородной фазы не установлено [6], а фазовый переход в полярную низкотемпературную фазу при 107 К является переходом первого рода [3].

#### 4. Обсуждение

Согласно нашей точке зрения, основной механизм фазового перехода в рассматриваемых кристаллах связан с неустойчивостью решетки относительно полярной мягкой моды. За счет нелинейных взаимодействий

<sup>3</sup> Экспериментально не наблюдалась нами фаза I не обсуждается.

$(f\xi^2\rho^2 \text{ и } d\xi\rho^4 \cos 4\varphi)$  эта неустойчивость вызывает процесс переупорядочения в упаковке слоевых пакетов.

Обычно в слоистых кристаллах наименьшую частоту имеют жестко-слоевые (ЖС) моды. Однако при наличии тяжелых атомов (как таллий) или комплексов (как  $\text{Ga}_4\text{Se}_{10}$ ) оптические ветви соответствующих внешних мод также могут иметь достаточно низкую частоту. При этом в силу их пересечений и антипересечений внутри зоны с низкой симметрией получающаяся картина дисперсии весьма сложна. Для слоистых кристаллов, содержащих  $n$  слоев в элементарной ячейке, зона Бриллюэна в направлении  $[00\xi]$  (направление укладки слоев) в  $1/n$  раз меньше зоны Бриллюэна однослойного кристалла. Если при этом межслоевое взаимодействие мало, то дисперсионные кривые  $n$ -слойного кристалла получаются простым отображением дисперсионных кривых однослойного политипа, как показано на рис. 5. Следствием отображения акустических ветвей является появление в спектре ЖС мод. Этот механизм, на наш взгляд, и ответствен за появление в низкотемпературных спектрах  $\text{TlGaSe}_2$  большого числа новых линий поглощения в районе  $15-25 \text{ см}^{-1}$  (рис. 3).

ЖС моды, как правило, имеют максимальное значение параметров Грюнайзена. Этот аргумент в [16] был положен в основу идентификации линий спектров кристаллов  $\text{TlGaSe}_2$  и  $\text{TlInS}_2$ . Применение модели линейной цепочки с короткодействующим взаимодействием позволило идентифицировать экспериментальные линии относительно типов движений. Было показано, что линии с частотами ниже  $70 \text{ см}^{-1}$  соответствуют модам трансляционного типа.

Выскажем, однако, несколько иную точку зрения. В [6] методом неупругого рассеяния нейтронов для  $\text{TlGaSe}_2$  была измерена поперечная акустическая ветвь в направлении  $[001]$  (рис. 5). На основании этих измерений можно оценить значение соответствующей частоты ЖС моды. Известно [28], что дисперсионное соотношение для акустического фонара дается уравнением

$$\omega^2 = 2/M \sum_n f_n [1 - \cos(nkd)], \quad (9)$$

где  $f_n$  — силовая константа для слоев, удаленных друг от друга на расстояние  $nd$  ( $d$  — расстояние между соседними слоями),  $M$  — масса элементарной ячейки. Если вклад от взаимодействия ближайших соседних слоев преобладает над другими межслоевыми силами, то первое слагаемое в (9) является определяющим и акустическая ветвь имеет форму синусоидальной кривой

$$\omega = 2(f_1/M)^{1/2} \sin(kd/2). \quad (10)$$

Из этого соотношения можно рассчитать частоту сдвиговой ЖС моды в предположении того, что выполнены правила отображения ветвей. Наилучшие результаты нашей подгонки формулы (10) к данным [6] приведены на рис. 5. Значение частоты ЖС моды получается близким к  $14-15 \text{ см}^{-1}$ , что значительно ниже частот ЖС мод, предложенных в [16] ( $\sim 30-50 \text{ см}^{-1}$ ).

Коснемся вопроса о природе мягкой моды в центре зоны Бриллюэна. Согласно фактор-групповому анализу, механическое представление для  $\text{TlGaSe}_2$  в  $C_{2h}^6$ -фазе записывается следующим образом:

$$\begin{aligned} \Gamma_{\text{транс.}} &= (A_u + 2B_u)_{\text{акуст}} + (A_g + 2B_g)_{\text{ЖС}} + 6A_g + 6B_g + 6A_u - 6B_u, \\ \Gamma_{\text{либрац}} &= A_u + 2B_u + A_g + 2B_g, \\ \Gamma_{\text{внутр}} &= 15A_g + 15B_g + 15A_u + 15B_u. \end{aligned} \quad (11)$$

Частоты мод, наблюдаемых в субмиллиметровом диапазоне [3, 4], при комнатной температуре близки к оценочным частотам ЖС мод сдвигового типа. С другой стороны, из-за наличия центра инверсии ЖС моды преобразуются по четным представлениям фактор-группы  $C_{2h}$  (см. (11)) и не должны наблюдаться в ИК спектрах. Поэтому более вероятно, что мягкая мода соответствует другому оптическому колебанию  $A_u$ -симмет-

рии, возможно, либрационного типа. Этот случай согласуется с тем, что моноклинная симметрия кристаллов  $TlGaSe_2$  и  $TlInS_2$ , как установлено при оптических исследованиях [5], сохраняется в температурном интервале  $80 \div 500$  К (первый вариант нашего термодинамического рассмотрения).

Что касается природы ПП, обеспечивающего умножение объема элементарной ячейки при фазовых переходах, то скорее всего он обусловлен процессами типа порядок—беспорядок в упаковке слоевых пакетов, которые проявляются в спектрах в виде релаксационных возбуждений [3, 4].

Политипизм слоистых кристаллов, присущий семейству  $TlGaSe_2$ , всегда тесно связан с процессами упорядочения [27]. При этом если в политипном соединении происходит фазовый переход, то, как правило, имеет место изменение упорядоченного расположения дефектов стыковки слоев. Последнее либо приводит к полностью разупорядоченной структуре, либо меняет одно упорядоченное распределение на другое. Оба эти процессы могут существовать и одновременно. Если начальная структура лишь частично разупорядочена, что, по-видимому, реализуется в  $TlGaSe_2$  [12], то указанные выше механизмы остаются в силе для упорядоченной части структуры. При этом для разупорядоченной части степень беспорядка может увеличиваться либо уменьшаться в зависимости от того, распределяются ли дефекты стыковки случайно или приобретают при фазовом переходе порядок. В последнем случае низкосимметричной фазе будет соответствовать полностью упорядоченная структура.

Авторы благодарны А. П. Леванюку, С. А. Минюкову и Д. Г. Санникову за плодотворную дискуссию.

#### Л и т е р а т у р а

- [1] Guseinov G. D., Ramazanzade A. N., Kerimova E. M., Ismailov M. Z. Phys. Stat. Sol., 1967, vol. 22, N 2, p. K117—K122.
- [2] Абдуллаев Г. Б., Аллахвердиев К. Р., Виноградов Е. А. и др. ДАН АзССР, 1977, т. 23, № 11, с. 26—29.
- [3] Волков А. А., Гончаров Ю. Г., Козлов Г. В. и др. Письма в ЖЭТФ, 1983, т. 37, № 11, с. 517—520.
- [4] Волков А. А., Гончаров Ю. Г., Козлов Г. В. и др. ФТТ, 1983, т. 25, № 12, с. 3583—3585.
- [5] Алиев Р. А., Аллахвердиев К. Р., Баранов А. И. и др. ФТТ, 1984, т. 26, № 5, с. 1271—1276.
- [6] Вахрушев С. Б., Квятковский Б. Е., Окунева Н. М. и др. Препринт № 886 ФТИ. Л., 1984. 12с.
- [7] Аллахвердиев К. Р., Бабаев С. С., Батышов Н. А., Мамедов Т. Г. Препринт № 122 Ин-та физики АН АзССР. Баку, 1985. 14 с.
- [8] Абдуллаева С. Г., Абдуллаев А. М., Мамедов К. К., Мамедов Н. Т. ФТТ, 1984, т. 26, № 2, с. 618—620.
- [9] Абдуллаева С. Г., Мамедов Н. Т., Мамедов Ш. С., Мустафаев Ф. А. ФТТ, 1987, т. 29, № 10, с. 3147—3149.
- [10] Баниш Ю., Брилингас А., Григас И., Гусейнов Г. ФТТ, 1987, т. 29, № 11, с. 3324—3329.
- [11] Бурлаков В. М., Виноградов Е. А., Нуров Ш., Гасанлы Н. М. Препринт № 15 ИСАН СССР. Троицк, 1985. 32 с.
- [12] Muller D., Hahn H. Z. Anorg. Allg. Chem., 1978, vol. 438, N 3, p. 258—272.
- [13] Henkel W., Hochheimer H. D., Carbone C. и др. Phys. Rev. B, 1982, vol. 26, N 6, p. 3211—3224.
- [14] Allakhverdiев К. Р., Sardarly R. M., Wondre F., Ruan J. F. Phys. Stat. Sol. (b), 1978, vol. 84, N 1, p. K5—9.
- [15] Vinogradov E. A., Zhizhin G. N., Melnik N. N. и др. Phys. Stat. Sol. (b), 1979, vol. 95, N 2, p. 383—390.
- [16] Gasanly N. M., Goncharov A. F., Melnik N. N. и др. Phys. Stat. Sol. (b), 1983, vol. 116, N 2, p. 427—443.
- [17] Абдуллаева С. Г., Ардинбеков С. С., Гусейнов Г. Г. ДАН АзССР, 1980, т. 36, № 8, с. 34—37.
- [18] Волков А. А., Гончаров Ю. Г., Козлов Г. В., Сардарлы Р. М. Письма в ЖЭТФ. 1984, т. 39, № 7, с. 293—295.
- [19] Ковалев О. В. Неприводимые представления пространственных групп. Киев, 1961. 153 с.
- [20] Санников Д. Г. Письма в ЖЭТФ, 1980, т. 31, № 6, с. 342—344.
- [21] Гуфан Ю. М., Торгашев В. И. ФТТ, 1980, т. 22, № 6, с. 1629—1637.
- [22] Гуфан Ю. М. Структурные фазовые переходы. М.: Наука, 1982. 304 с.

- [23] Гашимзаде Ф. М., Гаджиев Б. Р., Аллахвердиев К. Р. и др. ФТТ, 1985, т. 27, № 8, с. 2286—2290.
- [24] Алиев В. А., Гусейнов Г. Д. Изв. АН СССР. Неорг. матер., 1987, т. 23, № 2, с. 342—344.
- [25] Волков А. А., Гончаров Ю. Г., Козлов Г. В. и др. ФТТ, 1984, т. 26, № 9, с. 2752—2759.
- [26] Nakashima S., Hangyo M., Mitsuishi A. In: Vibrational Spectra and structure, 1985, vol. 14, p. 305—431.
- [27] Верма А., Кришна П. Полиморфизм и политипизм в кристаллах. М.: Мир, 1969. 274 с.

Институт общей физики АН СССР  
Москва

Поступило в Редакцию  
29 февраля 1988 г.  
В окончательной редакции  
6 июля 1986 г.

---